

A-646

ОБЪЕДИНЕННЫЙ
ИНСТИТУТ
ЯДЕРНЫХ
ИССЛЕДОВАНИЙ
ДУБНА



23/III-77

3410/2-77

P1 - 10616

Н.С.Ангелов, Л.Д.Грекова, Ю.И.Йорданова, В.Н.Пенев

ОБРАЗОВАНИЕ ρ^0 -, ω - И f - МЕЗОНОВ
В ИНКЛЮЗИВНЫХ И ПОЛУИНКЛЮЗИВНЫХ
ВЗАИМОДЕЙСТВИЯХ π^+ -МЕЗОНОВ С ПРОТОНАМИ
ПРИ ЭНЕРГИИ 40 ГэВ

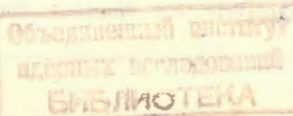
1977

P1 - 10616

Н.С.Ангелов, Л.Д.Грекова, Ю.И.Йорданова, В.Н.Пенев

ОБРАЗОВАНИЕ ρ^0 -, ω - И f - МЕЗОНов
В ИНКЛЮЗИВНЫХ И ПОЛУИНКЛЮЗИВНЫХ
ВЗАИМОДЕЙСТВИЯХ π^- -МЕЗОНОВ С ПРОТОНАМИ
ПРИ ЭНЕРГИИ 40 ГЭВ

Направлено в ЯФ



Ангелов Н.С. и др.

P1 - 10616

Образование ρ^0 , ω - и f -мезонов в инклюзивных и полуинклюзивных взаимодействиях π^- -мезонов с протонами при энергии 40 ГэВ

В работе изучается образование ρ^0 , ω - и f -мезонов в π^-p -взаимодействиях при импульсе 40 ГэВ/с. Экспериментальный материал – около 11000 случаев неупругих π^-p -взаимодействий – получен с помощью двухметровой пропановой пузырьковой камеры, облученной на серпуховском ускорителе. Для извлечения данных о рождении резонансов проводится анализ распределений по эффективным массам $(\pi^+\pi^-)$ – и $(\pi^+\pi^-\pi^0)$ систем с учётом влияния распада $\omega \rightarrow \pi^+\pi^-\pi^0$ на спектр масс $(\pi^+\pi^-)$ -мезонов. Получено, что инклюзивные сечения образования ω - и ρ^0 -мезонов равны соответственно (4 ± 2) мб и (8 ± 2) мб, а среднее число резонансов на одно взаимодействие составляет 0.46 ± 0.09 для ρ^0 -мезонов и 0.24 ± 0.10 для ω -мезонов. Сечение f -мезонов в пределах ошибок равно нулю. Приводятся также полуинклюзивные сечения ρ^0 - и ω -мезонов, распределения ρ^0 -мезонов по p_T^2 и по быстроте y^* . Все данные о сечениях ρ^0 -мезонов получены при фиксированном (4 ± 2) мб сечении ω -резонансов.

Работа выполнена в Лаборатории высоких энергий ОИЯИ.

Препринт Объединенного института ядерных исследований. Дубна 1977

Angelov N.S. et al.

P1 - 10616

ρ^0 , ω and f Production in Inclusive and Semi-Inclusive π^-p Interactions at 40 GeV/c

Production of ρ^0 , ω and f mesons in π^-p interactions at 40 GeV/c is studied. The data have been obtained using the Dubna 2-meter propane bubble chamber bombarded at the Serpukhov accelerator. The analysis of the effective mass distributions for $(\pi^+\pi^-)$ - and $(\pi^+\pi^-\pi^0)$ -systems is performed to extract the data on the resonance production taking into account the influence of the $\omega \rightarrow \pi^+\pi^-\pi^0$ decay on the mass spectrum of $(\pi^+\pi^-)$ -mesons. The inclusive cross sections of ω and ρ^0 production have been obtained to be (4 ± 2) and (8 ± 2) mb, respectively, the mean number of resonances per event being 0.46 ± 0.09 for ρ^0 and 0.24 ± 0.10 for ω . The f cross section within the error is equal to 0. The semi-inclusive cross sections for ρ^0 and ω mesons and p_T^2 and y^* distributions for ρ^0 mesons are given as well.

Preprint of the Joint Institute for Nuclear Research. Dubna 1977

Введение

Образование резонансов в адрон-адронных взаимодействиях стало за последние годы предметом интенсивного изучения. Одной из причин этого служит то, что, по-видимому, значительная часть конечных продуктов реакции $/p^-$, К-мезонов, нуклонов и т.д./ происходит /1/ от распада резонансов, так что изучение механизма, управляющего этими реакциями, оказывается невозможным без исследования промежуточных состояний – резонансов. Пристальный интерес к этому вопросу вызван также недавними открытиями аномально большого прямого рождения лептонов в нуклон-нуклонных взаимодействиях /2/. По крайней мере часть этих лептонов, по-видимому, является результатом распада обычных мезонных резонансов.

Инклюзивное и полуинклюзивное рождение ρ^0 - и f -мезонов изучалось, например, во взаимодействиях π^- -мезонов /3/, π^+ -мезонов /4/, протонов /5/ с протонами в интервале энергий 15–205 ГэВ. Рождение ω - и η -мезонов исследовалось только для некоторых определенных каналов /эксклюзивных/ при энергиях 12, 16 и 24 ГэВ /6/.

В настоящей работе представлены результаты изучения образования ρ^0 -, ω - и f -мезонов в следующих реакциях π^- -мезонов с протонами при энергии 40 ГэВ:

$$\pi^- p \rightarrow \pi^+ \pi^- \pi^0 + X, \quad /1/$$

$$\pi^- p \rightarrow \pi^+ \pi^- + X. \quad /2/$$

Ранее на основе анализа спектров $M(\pi^+\pi^-)$ для π^\pm -мезонов из реакции /2/ были получены /7,9/ данные о сечениях рождения ρ^0 - и f -мезонов. При этом косвенным образом оценено также сечение образования ω -мезонов. Показано, что учет рождения ω -мезонов существенно изменяет данные о сечении рождения ρ^0 -мезонов. В связи с этим представляется важным на основе имеющихся экспериментальных данных о реакции /1/ определить сечение рождения ω -мезонов по спектру $M(\pi^+\pi^-\pi^0)$ и уже после этого определить сечения рождения ρ^0 -мезонов.

Некоторые методические особенности эксперимента, точности в определении эффективных масс резонансов, а также возможности изучения ω -мезонов рассмотрены в § 1.

При высоких энергиях проведение анализа спектров эффективных масс наталкивается на серьезные трудности, связанные с отделением сигнала резонанса от фона. Визуально обнаруживаемый сигнал, например от ρ^0 -мезонов в полном инклузивном распределении эффективных масс /рис. 1/, не убедителен. Эффект от резонансов здесь, по-видимому, маскируется конфигурацией фона: фоновые кривые становятся такими же "острыми", как и пики от резонансов. Кроме того, как показано здесь и в /7,9/, спектр масс можетискажаться кинематическим отражением других резонансов. "Размытие" резонансных кривых, вызываемое неточностями в определении эффективных масс, также затрудняет обнаружение резонансов.

В настоящей работе данные об образовании и поведении резонансов / ω - и ρ^0 -мезонов/ получены на основе математической обработки спектров эффективных масс в предположении, что эти резонансы, действительно, рождаются в изучаемых взаимодействиях /§ 2/. Верность этого предположения подтверждается анализом изменений спектров в зависимости от инвариантных переменных, выделяющих из полного инклузивного спектра такие его части, которые соответствуют какому-нибудь определенному механизму взаимодействия. Так, например, в нашем эксперименте соответствующие ρ^0 -мезонам

максимумы в спектрах эффективных масс таких $(\pi^+\pi^-)$ -систем, которые образованы в процессе фрагментации налетающих частиц /этому соответствуют значения переменной Фейнмана: $-0,6 < x < -0,3$, рис. 2а/, без сомнения, выражены лучше, чем в общем инклузивном спектре.

Скорее, этому способствует благоприятная конфигурация фона, чем величина сечения образования ρ^0 -мезонов в этой группе событий. Анализ для ω -мезонов, аналогичный только что приведенному, изложен также в §2.

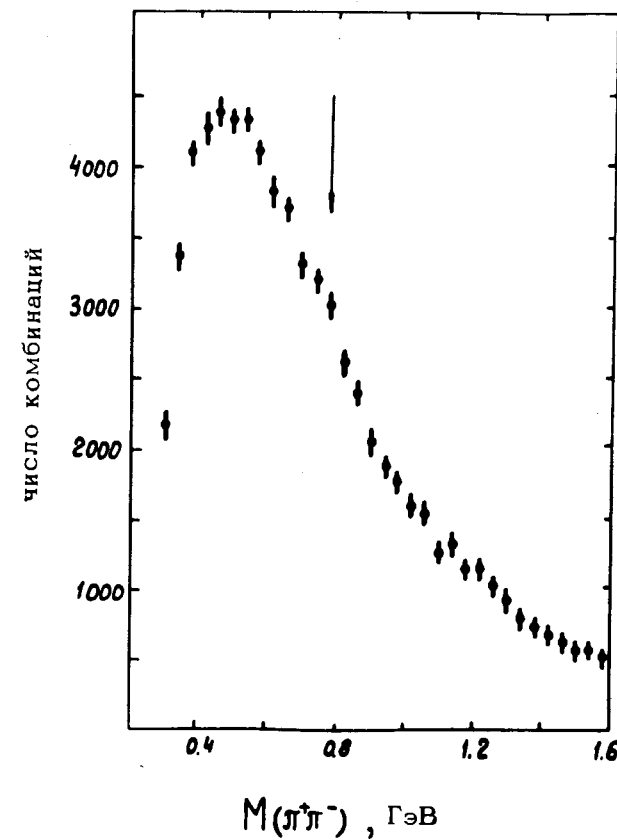


Рис. 1. Инклузивное распределение эффективных масс $(\pi^+\pi^-)$ -мезонов в π^-p -взаимодействиях при энергии 40 ГэВ.

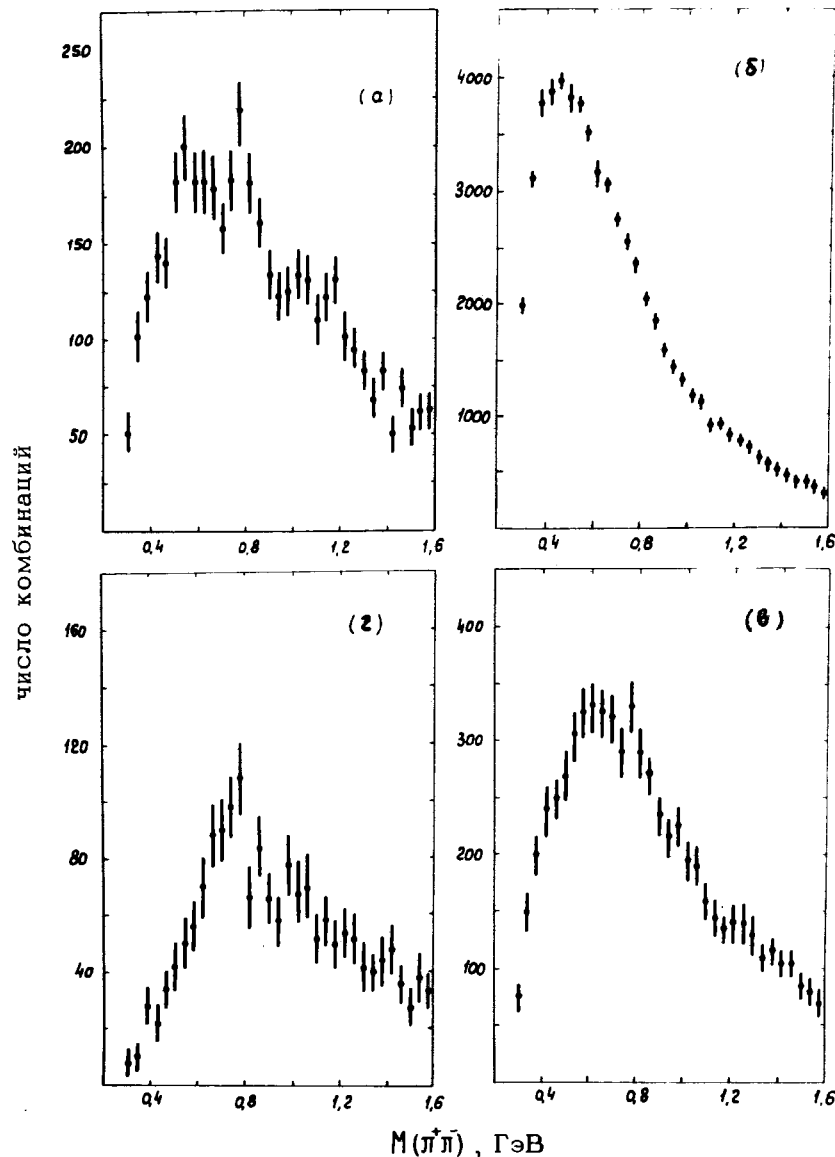


Рис. 2. Распределения эффективных масс $(\pi^+\pi^-)$ -мезонов для разных интервалов значений переменной Фейнмана x : а/ $-0,6 \leq x < -0,3$; б/ $-0,3 \leq x < 0,3$; в/ $0,3 \leq x < 0,6$; г/ $0,6 \leq x < 1,0$.

Определение сечений образования ω -мезонов, выполненное в настоящей работе, привело к коррекциям полного и дифференциальных сечений образования ρ^0 -мезонов во взаимодействиях изучаемого типа. Новые данные о сечениях ρ^0 -мезонов приведены в § 3.

Новые дифференциальные спектры ρ^0 -мезонов обсуждаются в § 4.

Перечень основных полученных результатов в сравнении с данными других работ и краткие заключения содержатся в § 5.

§ 1. Методические особенности эксперимента

1. Настоящая работа выполнена на снимках с двухметровой пропановой пузырьковой камеры Лаборатории высоких энергий ОИЯИ, облученной на серпуховском ускорителе на энергию 70 ГэВ.

Использовалось 11000 фотографий неупругих взаимодействий π^- -мезонов с протонами при 40 ГэВ, в результате которых было образовано 55000 заряженных π^\pm -мезонов и 10000 γ -квантов. Оценки показывают, что примесь неидентифицированных протонов среди π^\pm -мезонов, продуктов реакций /1/ и /2/, составляет 15%, а примеси K^\pm -мезонов и Σ^\pm -гиперонов среди всех π^\pm -мезонов не превышают /4÷5%. Неопознанные Λ - и K^0 -частицы среди γ -квантов составляют меньше 0,3%. Методика измерений и программы, по которым проводилась обработка на ЭВМ экспериментального материала, описаны в /8/.

2. Величины ошибок в эффективных массах определяются точностями измерения импульсов и углов вылета частиц. Зависимость средних абсолютных ошибок в эффективных массах $(\pi^+\pi^-)$ -мезонов от величины этих масс с хорошей точностью описывается прямой вида

$$\Delta M(M) = 0,094(M - m_\pi).$$

/3/

Для учета вызванных экспериментальными погрешностями искажений в форме спектров эффективных масс

теоретические кривые, описывающие резонансы, были проинтегрированы вместе с функцией разрешения, взятой в виде кривой Гаусса /9/. При этом принималось, что зависимость дисперсии от массы определяется выражением

$$\sqrt{D(M)} = \sqrt{\pi/2} \langle \Delta M \rangle$$

/4/

во всем исследуемом интервале масс.

Такой процедуры для ω -мезонов не было проведено из-за того, что естественная ширина ω -резонанса невелика и поэтому изменением величин ошибок в зависимости от массы можно пренебречь. Было оценено, что средняя ошибка в эффективной массе $(\pi^+\pi^-\pi^0)$ -мезонов при $M(\pi^+\pi^-\pi^0) = M_\omega = 783 \text{ МэВ}$ составляет $\langle \Delta M \rangle = 30 \text{ МэВ}$. Для учета влияния этой ошибки ширина Γ_ω кривой Брейта-Вигнера, описывающей ω -мезоны, была взята равной 35 МэВ .

3. Одной из задач настоящей работы было изучение образования ω -мезонов по продуктам их распада $\omega \rightarrow \pi^+\pi^-\pi^0$. Для получения характеристик необходимых для этого π^0 -мезонов нами были проанализированы зарегистрированные в камере гамма-кванты. Считалось, что π^0 -мезоны являются единственным источником гамма-квантов; гамма-кванты от распадов Σ^0 -гиперонов составляют меньше 1% /10/.

Для всех возможных переборок γ -квантов для каждого из взаимодействий были вычислены эффективные массы пар γ -квантов /рис. 3/. Далее считалось, что два γ -кванта являются продуктами распада π^0 -мезона, если их эффективная масса отличается от массы π^0 -мезона не более чем на три стандартные ошибки в величине эффективной массы.

Таким путем было выделено ~1900 пар γ -квантов /заштрихованная область на рис. 3/, которые в дальнейшем мы считали π^0 -мезонами. Однако, как видно

из рис. 3, примесь фоновых комбинаций среди выбранных π^0 -мезонов составляет не менее 50% *.

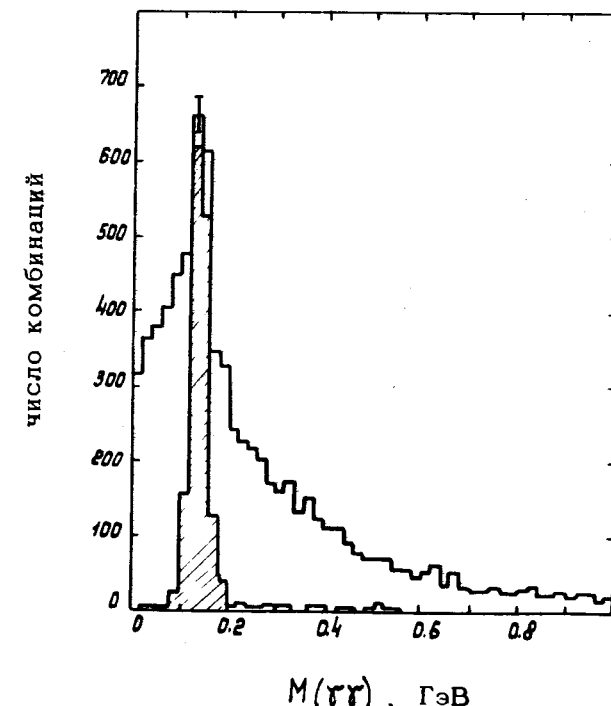


Рис. 3. Распределения эффективных масс пар γ -квантов $M(\gamma\gamma)$. Заштрихованы такие значения масс, которые отличаются от величины массы π^0 -мезона на три стандартные ошибки.

*Легко видеть, что в нашем эксперименте при средней множественности π^0 -мезонов, равной $\langle n_{\pi^0} \rangle = 2,43 \pm 0,05$ /10/, и при средней эффективности регистрации π^0 -мезонов $\bar{\epsilon}_{\pi^0} = (\bar{\epsilon}_\gamma)^2 = 0,04$ следует ожидать, что на 11000 событий будет зарегистрировано 1100 π^0 -мезонов.

§ 2. Сечение инклюзивного рождения ω -мезонов

Ситуация с наблюдением ω -мезонов в нашем эксперименте аналогична описанной во введении ситуации с ρ^0 -мезонами. Также и здесь в полном инклюзивном спектре эффект очень слабый. Оказалось также, что в спектрах $M(\pi^+\pi^-\pi^0)$, построенных для таких троек π^+, π^-, π^0 -мезонов, для которых квадрат поперечного импульса мал, или же в спектрах для узкой продольной центральной области, определяемой малыми абсолютными значениями переменной Фейнмана или быстроты y^* , наблюдаются отчетливо максимумы, соответствующие ω -мезонам /рис. 4/. Основываясь на этих данных, предположим, что ω -мезоны, действительно, рождаются в изучаемых нами взаимодействиях, и оценим их инклюзивное сечение.

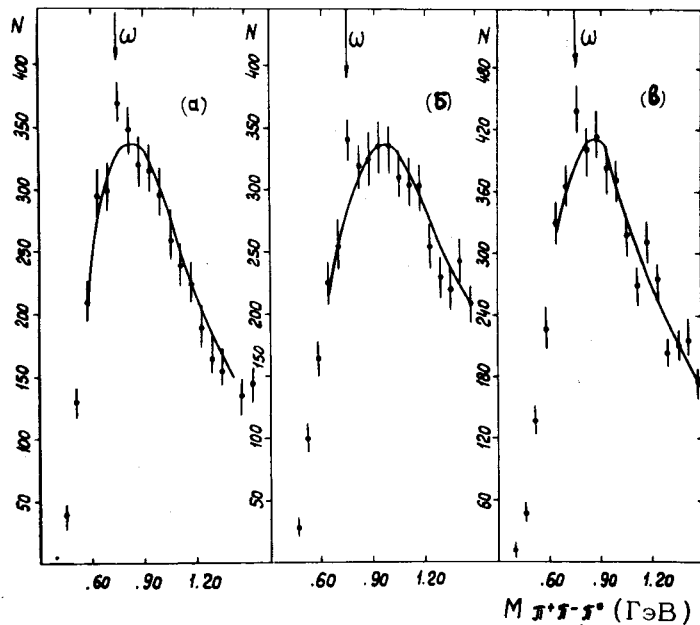


Рис. 4. Распределение эффективных масс $(\pi^+\pi^-\pi^0)$ -мезонов для следующих интервалов значений инвариантных переменных системы $(\pi^+\pi^-\pi^0)$ -мезонов: а/ - $0,06 \leq x < 0,12$, б/ - $-0,3 \leq y^* < 0,45$, в/ - $0 \leq p_T^2 < 0,2 / \text{ГэВ}/c^2$.

Для этого методом наименьших квадратов экспериментальное распределение $M(\pi^+\pi^-\pi^0)$ было аппроксимировано теоретической кривой следующего вида:

$$R_1(M) = k_1 N_R BW(M) + k_2 N_0 BG(M). \quad /5/$$

Здесь BW - обычная нерелятивистская функция Брейта-Вигнера; $BG(M)$ - аналитическая кривая, использованная, как и ранее /7,9/, для описания фонового распределения

$$BG(M) = \left(\frac{M}{M_0} \right)^a \exp(-bM + cM^2) \quad /6/$$

/где $M_0 = 1 \text{ ГэВ}$; a, b, c - подбираемые параметры/; k_1, k_2 - нормировочные коэффициенты; N_R и N_0 определяют количество резонансов и фоновых комбинаций соответственно.

Величина сечения рождения ω -мезонов, полученная на основе сравнения с теоретической кривой /5/ инклюзивного распределения $M(\pi^+\pi^-\pi^0)$ и распределений $M(\pi^+\pi^-\pi^0)$, соответствующих различным наборам интервалов переменных p_T^2 , x и y^* , оказалась равной $/4 \pm 2/ \text{ мб}$.

§ 3. Инклюзивные и полуинклюзивные сечения рождения ρ^0 - и f -мезонов

При анализе спектров эффективных масс $(\pi^+\pi^-)$ -мезонов теоретическая кривая /5/ была видоизменена следующим образом:

$$R_2(M) = k'_1 N_{\rho} BW'_{\rho}(M) + k'_2 N_f BW'_{f}(M) + k_3 N_{\omega} F_{\omega}(M) + k_4 N_{\omega} BG'(M). \quad /7/$$

Здесь $BW'_{\rho}(M)$, $BW'_{f}(M)$ - релятивистские функции Брейта-Вигнера с зависящей от массы шириной /9/.

Очевидно, что ошибки в определении значений эффективных масс влияют на наблюдаемую форму и ширину резонансных кривых. Это влияние было учтено способом, описанным в § 1, п. 2.

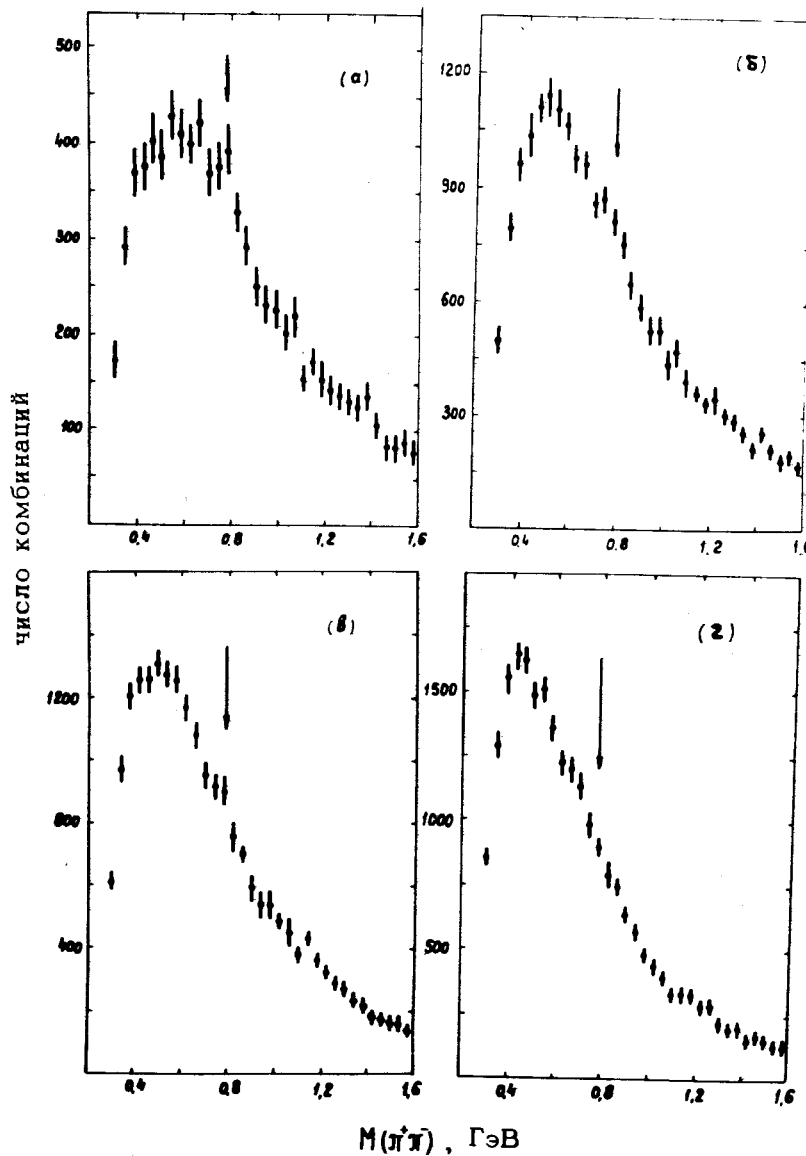


Рис. 5. Распределения эффективных масс $(\pi^+\pi^-)$ -мезонов для каналов с множественностью заряженных частиц $n_{ch} = 4, 6, 8, \geq 10$ /а, б, в, г/.

Функция F_ω включена в /7/ для учета кинематического влияния ω -мезонов на спектр $M(\pi^+\pi^-)$ /7,9/.

Важной особенностью расчетов, приведенных здесь, было то, что величина кинематического отражения ω -мезонов была зафиксирована в соответствии с определенным в §2 поперечным сечением рождения ω во взаимодействиях этого типа.

В качестве фона /функция $BG'(M)$ в выражении /7// было использовано суммарное распределение эффективных масс одноименно заряженных π -мезонов ($M(\pi^\pm\pi^\pm)$).

В результате подгонки кривой /7/ под экспериментальное инклюзивное распределение $M(\pi^+\pi^-)$ были получены для инклюзивных поперечных сечений рождения ρ^0 - и f^0 -мезонов следующие значения:

$$\sigma(\rho^0) = /8 \pm 2/ \text{ мб},$$

$$\sigma(f^0 \rightarrow \pi^+\pi^-) = /0,7 \pm 0,6/ \text{ мб}.$$

Процедура определения полуинклюзивных сечений резонансов была построена так, что подгонка кривых вида /7/ проводилась ко всем экспериментальным спектрам $M(\pi^+\pi^-)$, рис. 5а-5г, от полуинклюзивных каналов $\pi^-\pi^+$ -реакции одновременно. При этом требовалось, чтобы для каждого из резонансов сечение, просуммированное по отдельным каналам, равнялось его инклюзивному сечению /8/. В этих расчетах в отличие от приведенных в /9/ инклюзивные сечения рождения ρ^0 -, ω - и f -мезонов были зафиксированы.

Величины поперечных сечений образования ρ^0 -, ω - и f^0 -мезонов, полученные в результате этих вычислений, приведены в табл. 1. Ошибки в сечениях ρ^0 - и f^0 -мезонов включают в себя статистические ошибки, а также ошибки, вызванные неточностью в определении сечения рождения ω -мезонов.

§ 4. Дифференциальные сечения ρ^0 -мезонов

Дифференциальные сечения рождения ρ^0 -мезонов по переменным: квадрату поперечного импульса, переменной

Таблица I

^{a)} n_{ch}	$\sigma(\rho^0)$, мбарн	$\langle n_{\rho^0} \rangle$	$\sigma(\rho^0)/\sigma(\pi^0)$	$\sigma(\omega), \text{мбарн}$	$\langle n_{\omega} \rangle$	$\sigma(\omega)/\sigma(\pi^0)$	$\sigma(\eta)/\sigma(\pi^0)$	$\sigma(\text{мбарн})$ $(\pi \rightarrow \pi^+ \pi^-)$
4	$2,1 \pm 0,4$	$0,33 \pm 0,06$	$0,24 \pm 0,05$	$1,1 \pm 0,3$	$0,17 \pm 0,04$	$0,13 \pm 0,03$	$0,0 \pm 0,3$	
6	$2,6 \pm 0,8$	$0,46 \pm 0,13$	$0,19 \pm 0,06$	$2,3 \pm 0,7$	$0,41 \pm 0,11$	$0,17 \pm 0,05$	$0,5 \pm 0,3$	
3	$2,0 \pm 0,9$	$0,60 \pm 0,27$	$0,18 \pm 0,08$	$0,9 \pm 0,9$	$0,26 \pm 0,26$	$0,06 \pm 0,08$	$0,2 \pm 0,3$	
≥ 10	$1,4 \pm 0,7$	$0,57 \pm 0,28$	$0,12 \pm 0,06$	$0,0 \pm 1,0$	$0,0 \pm 0,35$	$0,0 \pm 0,09$	$0,0 \pm 0,3$	
Все	$6,1 \pm 1,8$	$0,46 \pm 0,09$	$0,18 \pm 0,04$	$4,3 \pm 2,1$	$0,24 \pm 0,10$	$0,10 \pm 0,05$	$0,7 \pm 0,6$	
(≥ 4)								

*) Одески показывают, что вклад от двухлучевых взаимодействий в полное инклюзивное сечение образование ρ^0 -мезонов не превышает 0,3 мбарн. Получение других величин оказывается невозможным из-за малого количества событий.

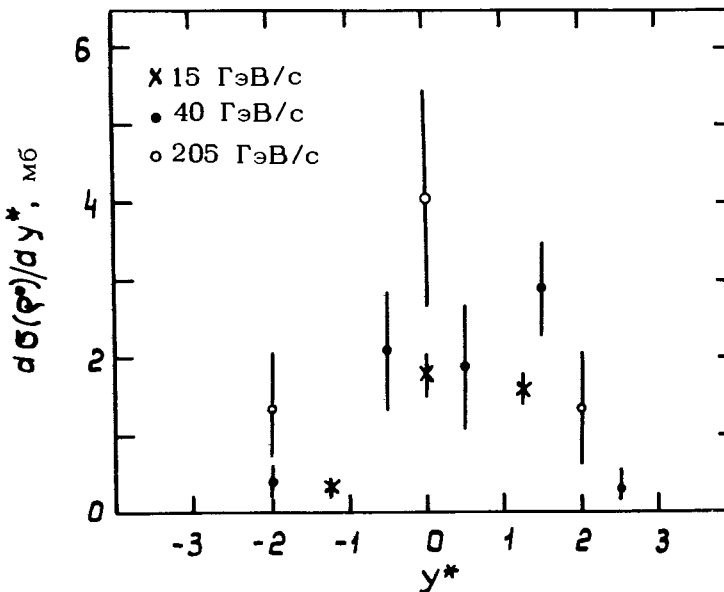


Рис. 6. Дифференциальные сечения ρ^0 -мезонов $d\sigma(\rho^0)/dy^*$ для π^- -р-взаимодействий при 15 ГэВ/с (x), 40 ГэВ/с (•) и 205 ГэВ/с (○).

Фейнмана x и быстроте y^* были получены при зафиксированном полном инклюзивном сечении, равном /8/. Каждая из этих дифференциальных зависимостей определялась на основе распределений эффективных масс, построенных для каждой из групп $\pi^+\pi^-$ -комбинаций, попадающих в определенный интервал p_T^2 , x и y^* . Вклад ρ^0 -мезонов определялся, как и в § 3, путем аппроксимации этих распределений теоретическими кривыми вида /7/.

Дифференциальное распределение ρ^0 -мезонов по быстроте показано на рис. 6. Видно, что около половины всех ρ^0 -мезонов имеют значения быстрот, соответствующие, условно говоря, центральной области: $-1 < y^* < +1$. Из остальных ρ^0 -мезонов большая часть приходится на область фрагментации пучка ($y^* > 1$). На рис. 6 для сравнения приведены также данные, полученные для π^- -р-взаимодействий при 15 и 205 ГэВ /3/. Легко видеть, что рост инклюзивного сечения ρ^0 -мезонов с энергией, если он есть, происходит в основном за счет увеличения сечения

в центральной области, тогда как в области фрагментации пучка сечения при этих трех энергиях в пределах ошибок одинаковы /табл. 2/.

Таблица 2

Область по y^*	15 ГэВ/с	Сечение $\sigma(\rho^0)$, мбарн	205 ГэВ/с /3/
	/3/	40 ГэВ/с	
Фрагментация мишени	$0,53 \pm 0,11$	$0,8 \pm 0,5$	$2,70 \pm 1,25$
Центральная	$1,79 \pm 0,19$	$4 \pm 1,1$	$8,10 \pm 2,81$
Фрагментация пучка	$2,47 \pm 0,19$	$3,3 \pm 0,6$	$2,66 \pm 1,39$

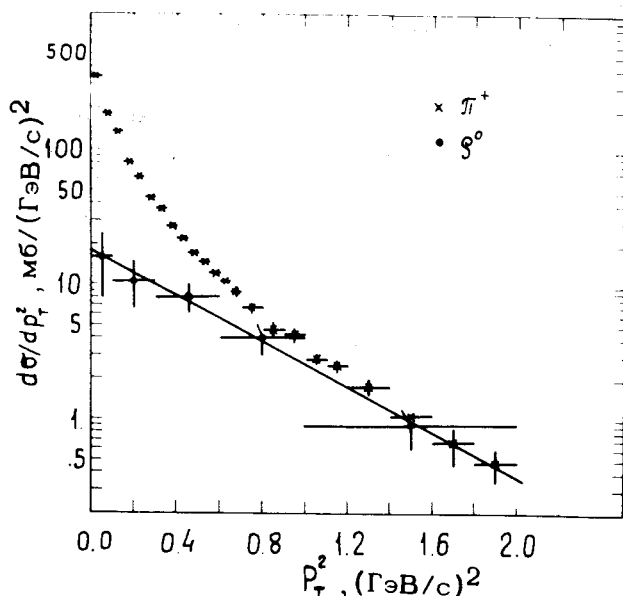


Рис. 7. Дифференциальные сечения $d\sigma/d\rho_T^2$ для ρ^0 -мезонов (•) и π^+ -мезонов (x) из π^-p -взаимодействий при 40 ГэВ/с.

На рис. 7 показаны дифференциальные сечения $\frac{d\sigma}{dp_T^2}$

для ρ^0 -мезонов и π^+ -мезонов, образованных в изучаемых нами взаимодействиях. В области малых значений квадратов поперечных импульсов сечения для π^+ -мезонов значительно больше, чем для ρ^0 -мезонов, и только при $p_T^2 \geq 0,7 \text{ ГэВ/с}^2$ величины сечений, и наклоны распределений в пределах ошибок совпадают. Таким образом, только при больших значениях поперечных импульсов выход лептонов от распада ρ^0 -мезонов может играть заметную роль.

§ 5. Заключение

Итак, результаты настоящей работы показывают, что инклюзивные сечения образования ρ^0 - и ω -мезонов в π^-p -взаимодействиях при 40 ГэВ/с значительны и соизмеримы по величине; сечение же f -мезонов в пределах ошибок равно нулю. Оказывается, что около половины всех π^0 -мезонов /например, 45% π^+ -мезонов/ образуется через ρ^0 -, ω -резонансы *.

Средние числа ρ^0 - и ω -мезонов на одно событие, а также средние числа этих мезонов, рассчитанные на событие с определенным числом заряженных частиц, приведены в табл. 2. Видно, что при 40 ГэВ ρ^0 -мезоны образуются почти в половине взаимодействий, а один ω -мезон рождается в среднем на 4÷5 неупругих π^-p -взаимодействий.

На рис. 8а сравнены сечения инклюзивного рождения ρ^0 -мезонов и средние числа ρ^0 -мезонов на одно взаимодействие при различных энергиях. Если принять данные при 200 ГэВ/с /за более точные, чем результаты при 205 ГэВ/с, представленные в /3/, то можно предположить,

* Величина $\sigma(\rho^+)$ взята равной $\sigma(\rho^0)$.

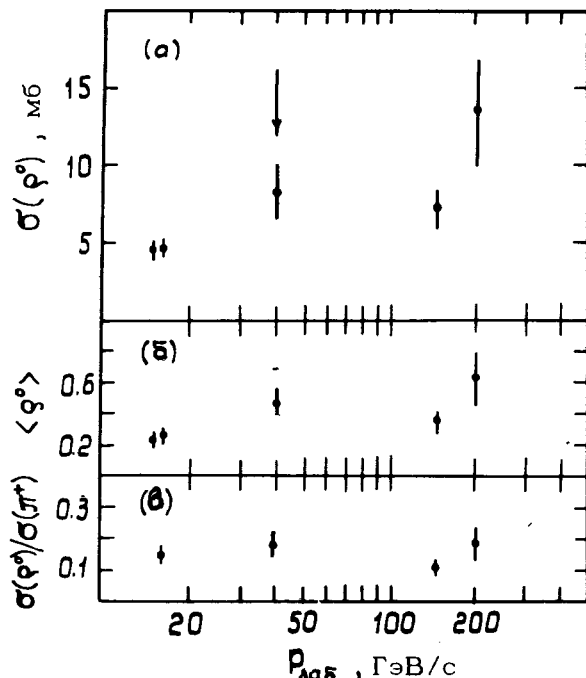


Рис. 8. Ход зависимости с энергией: а/ инклюзивного сечения образования ρ^0 -мезонов; б/ средней множественности ρ^0 -мезонов; в/ отношения инклюзивных сечений образования ρ^0 -мезонов и π^+ -мезонов в π^-p -взаимодействиях.

что сечения инклюзивного образования ρ^0 -мезонов в π^-p -взаимодействиях после некоторой энергии /близкой к 40 ГэВ/ далее почти не изменяются вплоть до 200 ГэВ. Однако для более уверенных утверждений нужны новые результаты.

Почти не изменяется с энергией отношение инклюзивного сечения ρ^0 -мезонов к инклюзивному сечению π^+ -мезонов, которое при 40 ГэВ равно $0,18 \pm 0,04$ /рис. 8в/. Величина отношения сечений ρ^0/π^+ существенно изменяется в зависимости от величин поперечного импульса и достигает при $p_T^2 \geq 0,7 / \text{ГэВ}/с^2$ единицы.

В заключение авторы считают своим приятным долгом выразить благодарность всем участникам Сотрудничества по обработке снимков с двухметровой пропановой камеры за предоставленные материалы и многочисленные полезные обсуждения.

Особенно приятно поблагодарить В.Г.Гришина, Е.М.Левина, В.М.Шехтера за интерес к работе и стимулирующие дискуссии.

Авторы признательны М.И.Соловьеву за внимание и поддержку.

Литература

1. Шляпников П.В. В кн.: Труды XVIII Международной конференции по физике высоких энергий, Тбилиси, 1976. ОИЯИ, Д1,2-10400, Дубна, 1977.
2. Boymond J.P. e.a. Phys.Rev.Lett., 1974, 33, 112; Appel J.A. e.a. Phys.Lett., 1974, 33, 722; Busser F.W. e.a. Phys.Rev.Lett., 1974, 33B, 212; Pope B.G. In: Proceedings of the Intern. Conf. on High Energy Physics, Palermo, 1975.
3. Brau J. e.a. Nucl.Phys., 1975, B99, 232 (15 GeV); Bartke J. e.a. Nucl.Phys., 1976, B107, 93 (16 GeV); Fong D. e.a. Phys.Lett., 1975, 60B, 124 (147 GeV/c); Winkelmann F. e.a. Phys.Lett., 1975, 56B, 101 (205 GeV/c).
4. Gordon H. e.a. Phys.Rev.Lett., 1975, 34, 284 (6, 22 GeV/c); Deutschmann M. e.a. Nucl.Phys., 1976, B103, 426 (8; 16; 23 GeV/c).
5. Blobel V. e.a. Phys.Lett., 1974, 48B, 73 (12; 24 GeV/c); Аммосов В. и др. Препринт ИФВЭ, М-19, 1975 /69 ГэВ/c/; Singer R. e.a. Phys.Lett., 1976, 60B, 385 (205 GeV/c).
6. Aachen - Berlin-Bonn-CERN-Cracow-Heidelberg-Warsaw-Collaboration, CERN/EP/PHYS 76-28 (16 GeV/c); Blobel V. e.a. Nucl.Phys., 1976, B111, 397 (12; 24 GeV/c).

7. *Aghababian N.O. e.a. Bulg.J.Phys., 1975, II, 6. 570.*
8. Ангелов Н. и др. ОИЯИ, 1-953б, Дубна, 1976.
9. Ангелов Н. и др. ОИЯИ, Р1-981О, Дубна, 1976.
10. *Abdurakhimov A. e.a. Nucl.Phys., 1973, B63, 114.*

Рукопись поступила в издательский отдел
21 апреля 1977 года.